

Modélisation du transport d'un polluant

Projet d'introduction à la recherche

Léo Baty, Chiheb Eddine Najjar, Nathan Godey, Régis Santet, Song Phuc Duong,
Clément Lasuen
sous la direction de
Damiano Lombardi et Sebastien Boyaval
Laboratoire INRIA

2 juin 2018

Sommaire

1 Introduction

2 Méthodes

- Proper Orthogonal Decomposition
- Champs de vitesse étudiés
- Approche eulerienne
- Approche lagrangienne

3 Résultats et interprétations

- Approche eulerienne
 - Champ de vitesse uniforme
 - Écoulements cellulaires
- Approche lagrangienne
 - Champ de vitesse uniforme
 - Écoulements cellulaires
 - Champ de vitesse de Lamb-Oseen

4 Conclusion

Introduction



FIGURE 1: Explosion de *Deepwater Horizon*, 20/04/2010

Equation de transport

$$\partial_t c + u \cdot \nabla c = 0$$

$c(x,t)$: concentration en polluant à la position $x \in (0,1)^2 = \Omega$ à l'instant $t \in [0, T]$

u : champ de vitesse, dépend *a priori* de x et de t

Champs de vitesse étudiés

Champ de vitesse uniforme

$$\begin{cases} u_x = ||u|| \cos(\theta) \\ u_y = ||u|| \sin(\theta) \end{cases}$$

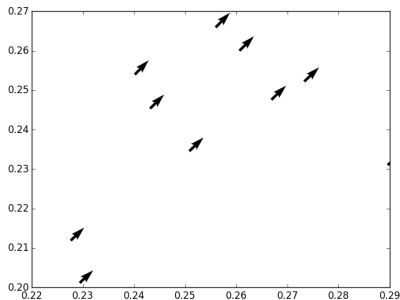


FIGURE 2: Écoulement constant avec un angle θ

Champs de vitesse étudiés

Écoulements cellulaires

$$\psi(x, y) = \sin(2\pi x) \sin(2\pi y) + \theta_0 \cos(2\pi\theta_1 x) \cos(2\pi\theta_2 y)$$

$$\theta_0 \in [0, 2.5] \text{ et } (\theta_1, \theta_2) \in [0.5, 4]^2$$

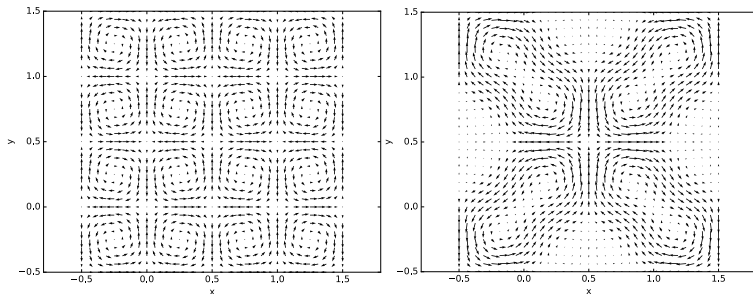


FIGURE 3: Champs de vitesse pour deux jeux de paramètres

Champs de vitesse étudiés

Champ de vitesse de Lamb-Oseen

$$\mathbf{v}(r, \theta, t) = \frac{\Gamma}{2\pi r} \left(1 - \exp \left(\frac{-r^2}{4\nu t + r_c^2} \right) \right) \mathbf{u}_\theta$$

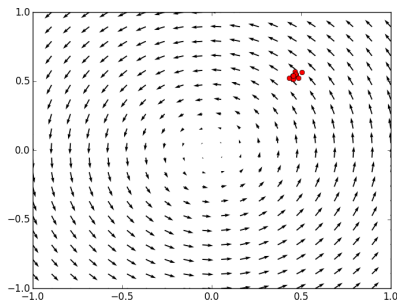


FIGURE 4: Écoulement Lamb-Oseen

Approche eulerienne

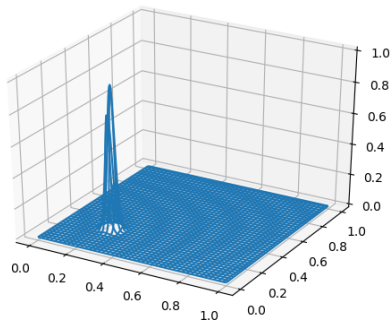


FIGURE 5: Condition initiale...

Approche eulerienne

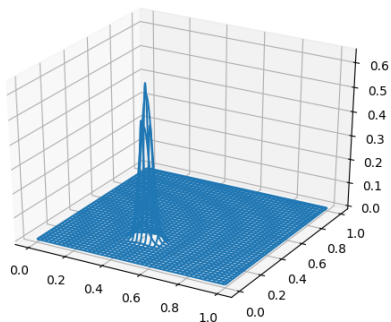


FIGURE 6: ... et après un certain temps

Approche eulerienne

Méthode des volumes finis

Approche eulerienne

Modèle réduit

Approche lagrangienne

$X(\xi, t) \in \mathbb{R}^{n \times 2}$ désigne les positions, à l'instant $t \in [0, T]$, des particules qui étaient initialement aux positions $\xi \in \mathbb{R}^{n \times 2}$

$$\begin{cases} \partial_t X = v(X(\xi, t), t) \\ X(\xi, 0) = \xi \end{cases}$$

Hypothèses

$$v \in C^0(\mathbb{R}^{n \times 2} \times \mathbb{R}) \cap W^{1,\infty}(\mathbb{R}^{n \times 2} \times \mathbb{R})$$

Théorème de Cauchy-Lipschitz

Existence et unicité d'une solution locale pour des temps arbitraires

Conséquence

Le transport est à vitesse finie

Approche lagrangienne

Résolution numérique

Schéma de Crank-Nicholson :

$$X^{(k+1)} = X^{(k)} + \frac{\Delta t}{2} (v(X^{(k)}, t^k) + v(X^{(k+1)}, t^{k+1}))$$

Algorithme du point fixe :

$$\left\{ \begin{array}{l} X_0^{(k+1)} = X^{(k)} \\ X_1^{(k+1)} = X^{(k)} + \Delta t v(X^{(k)}, t^k) \\ X_{r+1}^{(k+1)} = X^{(k)} + \frac{\Delta t}{2} (v(X^{(k)}, t^k) + v(X_r^{(k+1)}, t^{k+1})) \end{array} \right.$$

Approche eulerienne

Champ de vitesse uniforme

16 simulations, $\theta \in [0, \frac{\pi}{2}]$

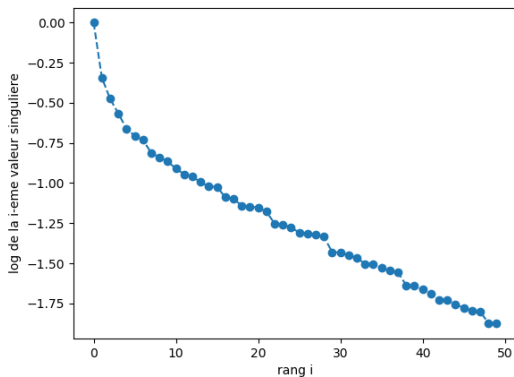
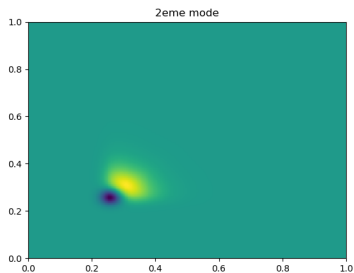
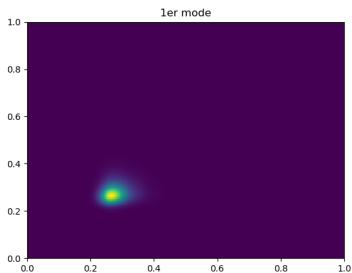


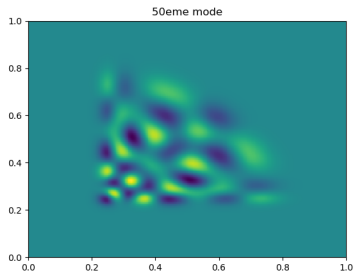
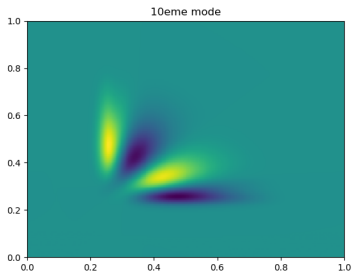
FIGURE 7: Tracé du log des valeurs singulières en fonction du rang

Approche eulerienne

Champ de vitesse uniforme

Rôle des modes propres :

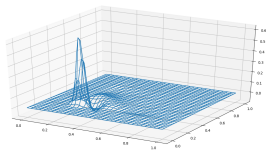




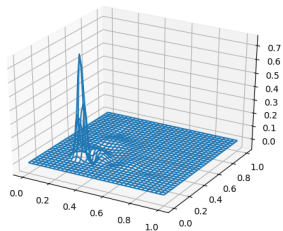
Approche eulerienne

Champ de vitesse uniforme

Reconstruction d'une solution fine



Condition initiale, 10 modes

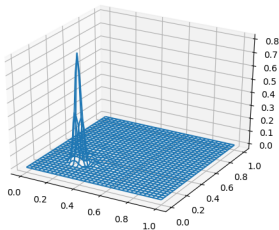


Condition initiale, 20 modes

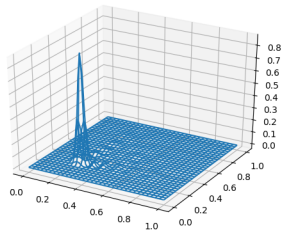
Approche eulerienne

Champ de vitesse uniforme

Reconstruction d'une solution fine



Condition initiale, 50 modes

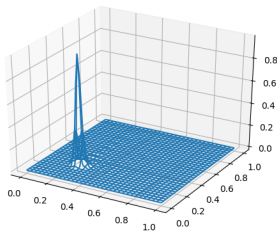


Condition initiale, 100 modes

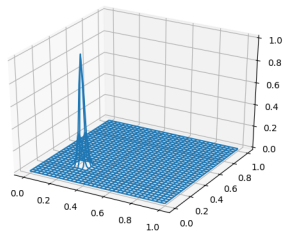
Approche eulerienne

Champ de vitesse uniforme

Reconstruction d'une solution fine



Condition initiale, 200 modes

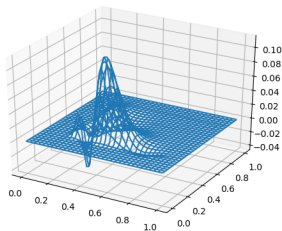


Condition initiale, 500 modes

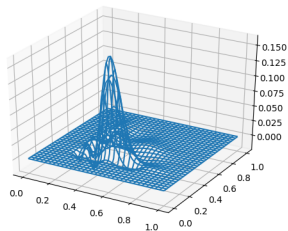
Approche eulerienne

Champ de vitesse uniforme

Reconstruction d'une solution fine



A mi-parcours, 10 modes

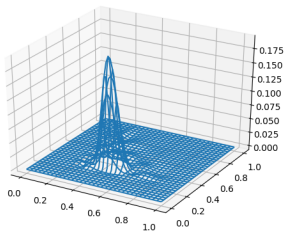


A mi-parcours, 20 modes

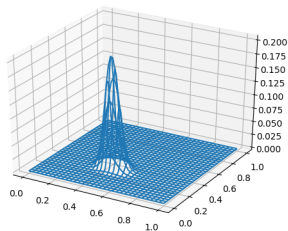
Approche eulerienne

Champ de vitesse uniforme

Reconstruction d'une solution fine



A mi-parcours, 50 modes

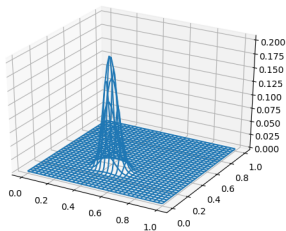


A mi-parcours, 100 modes

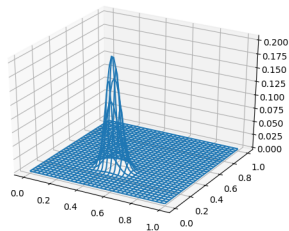
Approche eulerienne

Champ de vitesse uniforme

Reconstruction d'une solution fine



A mi-parcours, 200 modes



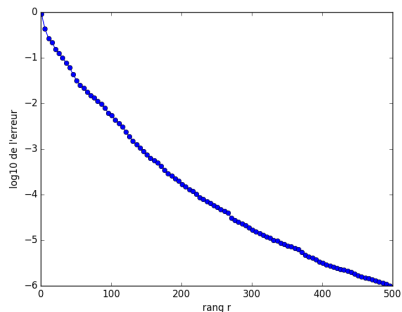
A mi-parcours, 500 modes

Approche eulerienne

Ecoulements cellulaires

64 simulations

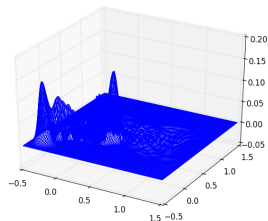
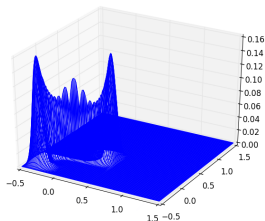
- $(x_0, y_0, \theta_0) \in [0.25, 0.75] \times [0.25, 0.75] \times [0, 2.5]$ tirés uniformément
-



Approche eulerienne

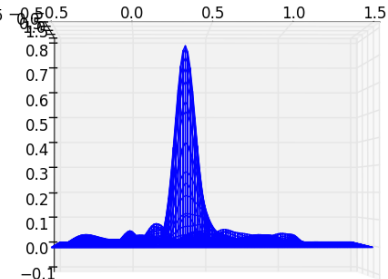
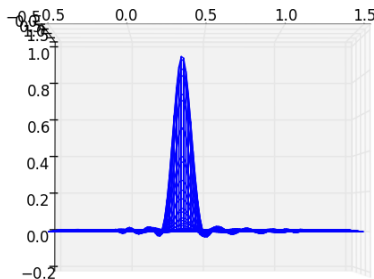
Ecoulements cellulaires

Ecoulement cellulaire



Approche eulerienne

Ecoulements cellulaires



Approche lagrangienne

Champ de vitesse uniforme

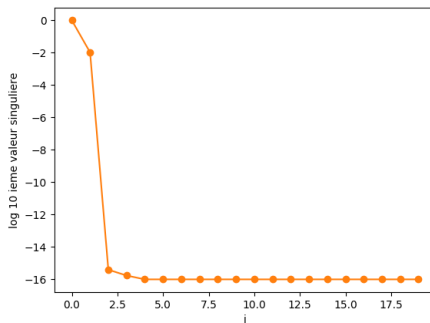


FIGURE 8: log des valeurs singulières pour 8000 particules

Approche lagrangienne

Écoulements cellulaires

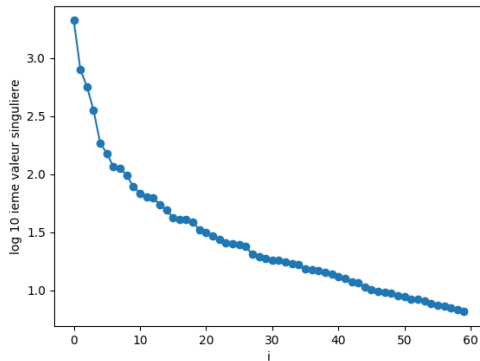


FIGURE 9: log des valeurs singulières pour 500 particules

Approche lagrangienne

Écoulements cellulaires

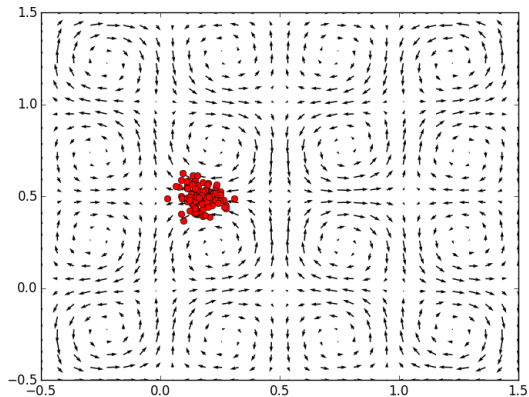


FIGURE 10: simulation pour 100 particules, $\theta_0 = \theta_1 = \theta_2 = 0.5$

Approche lagrangienne

Écoulements cellulaires

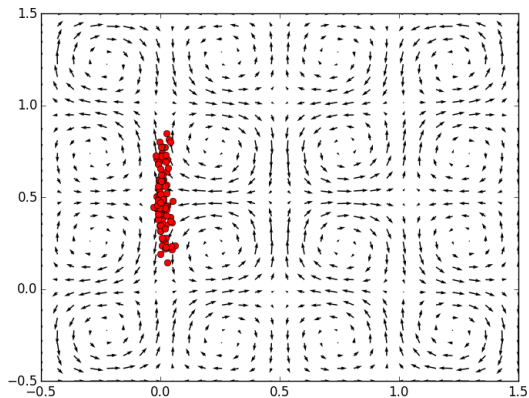


FIGURE 11: simulation pour 100 particules, $\theta_0 = \theta_1 = \theta_2 = 0.5$

Approche lagrangienne

Écoulements cellulaires

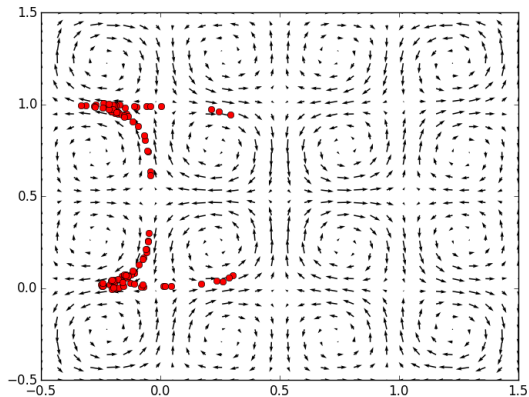


FIGURE 12: simulation pour 100 particules, $\theta_0 = \theta_1 = \theta_2 = 0.5$

Approche lagrangienne

Écoulements cellulaires

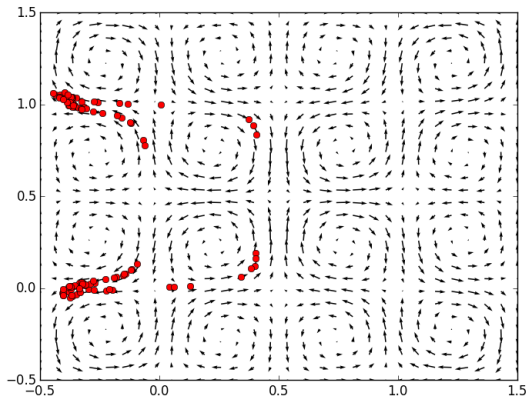


FIGURE 13: simulation pour 100 particules, $\theta_0 = \theta_1 = \theta_2 = 0.5$

Approche lagrangienne

Champ de vitesse de Lamb-Oseen

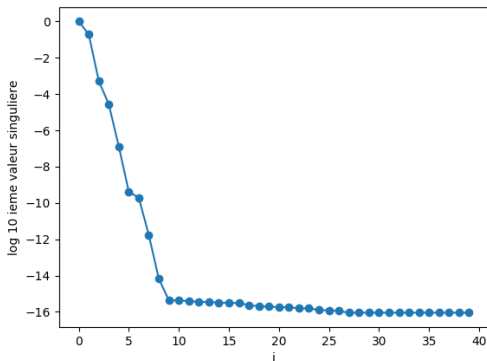


FIGURE 14: log des valeurs singulières pour 100 particules

For Further Reading I



A. Author.

Handbook of Everything.

Some Press, 1990.



S. Someone.

On this and that.

Journal of This and That, 2(1) :50–100, 2000.